

# Modelos geométricos de segundo orden en la cosmología de universos de tipo membrana

J. Efraín Rojas

Facultad de Física  
Universidad Veracruzana

**XI Escuela de Física Fundamental, Universidad Veracruzana,  
27/09/2016**



Universidad Veracruzana

# Plan

- 1 Teorías de Segundo Orden. Superficies
- 2 Objetos Extendidos  $\approx$  Membranas
- 3 Gravedad Tipo Lovelock para membranas
- 4 Gravitación Tipo Brana Geodésica (Modificada)
- 5 Conclusiones

## Teorías de alto orden en las derivadas

### Evolución de un sistema físico

$$S[q] = \int_A^B dt L(q, \dot{q})$$

$L = L(q, \dot{q})$ : función lagrangiana

Principio de mínima acción:  $\delta S = 0 \implies$  ecuaciones de movimiento

### Lagrangianos de primer orden, $L = L(q, \dot{q})$

$$\frac{\partial L}{\partial q} - \frac{d}{dt} \left( \frac{\partial L}{\partial \dot{q}} \right) = 0 \quad 2^{\text{o}} \text{ orden}$$

## Teorías de alto orden en las derivadas

### Evolución de un sistema físico

$$S[q] = \int_A^B dt L(q, \dot{q})$$

$L = L(q, \dot{q})$ : función lagrangiana

Principio de mínima acción:  $\delta S = 0 \implies$  ecuaciones de movimiento

### Lagrangianos de primer orden, $L = L(q, \dot{q})$

$$\frac{\partial L}{\partial q} - \frac{d}{dt} \left( \frac{\partial L}{\partial \dot{q}} \right) = 0 \quad 2^{\text{o}} \text{ orden}$$

### Lagrangianos de segundo orden, $L = L(q, \dot{q}, \ddot{q})$

$$\frac{\partial L}{\partial q} - \frac{d}{dt} \left[ \frac{\partial L}{\partial \dot{q}} - \frac{d}{dt} \left( \frac{\partial L}{\partial \ddot{q}} \right) \right] = 0 \quad 4^{\text{o}} \text{ orden}$$

## Renuencia a teorías de alto orden

Teorías no-físicas ... pero surgen (son necesarias) en muchos contextos!

## Renuencia a teorías de alto orden

Teorías no-físicas ... pero surgen (son necesarias) en muchos contextos!

### Desventajas

- EdM de alto orden en las derivadas
- Propagación de grados de libertad extra
- Inestabilidad en los valores de la energía
- Aparición de “ghosts” a nivel cuántico
- Problemas de unitariedad

### Beneficios

- Correcciones a ciertas teorías establecidas
- Modelación de efectos observados en la naturaleza
- Gran contenido geométrico
- Aparecen en:
  - Biofísica: Membranas lipídicas. Polímeros semiflexibles
  - Teoría de la elasticidad
  - Econofísica. Optimización
  - T de Norma. Electrodinámica. QCD
  - **Gravitación. Cosmología**

## Superficies

**Superficie:** generalización de un plano, la cual no es necesariamente plana, tal que su curvatura no es necesariamente cero.

### Superficies en física teórica

Superficies se utilizan para aproximar sistemas físicos en todas las escalas

- Teoría de cuerdas
- Física nuclear
- Biofísica
- Materia condensada
- Gravitación
- Cosmología

### Importancia

Los grados de libertad relevantes están asociados con la configuración geométrica de la superficie misma

## Segundo orden (contexto euclidiano)

### Biofísica

#### Membranas lipídicas. Membranas ambifílicas

Helfrich, Canham, Zhong-Can, Bowick, Deserno, Capovilla, Guven, **Rojas**

## Segundo orden (contexto euclíadiano)

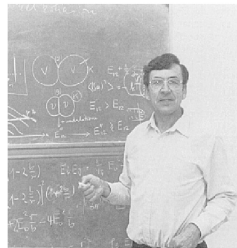
### Biofísica

#### Membranas lipídicas. Membranas ambifílicas

Helfrich, Canham, Zhong-Can, Bowick, Deserno, Capovilla, Guven, **Rojas**

### Membranas biofísicas

#### ● Doblamiento de membranas



## Segundo orden (contexto euclíadiano)

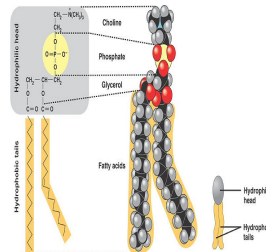
### Biofísica

#### Membranas lipídicas. Membranas ambifílicas

Helfrich, Canham, Zhong-Can, Bowick, Deserno, Capovilla, Guven, **Rojas**

### Membranas biofísicas

- Doblamiento de membranas
- **Moléculas fosfolípidas**



## Segundo orden (contexto euclíadiano)

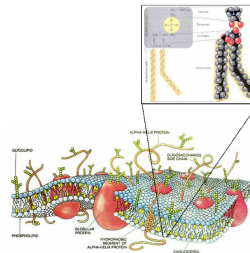
### Biofísica

#### Membranas lipídicas. Membranas ambifílicas

Helfrich, Canham, Zhong-Can, Bowick, Deserno, Capovilla, Guven, **Rojas**

### Membranas biofísicas

- Doblamiento de membranas
- Moléculas fosfolípidas
- **Membranas biofísicas**



## Segundo orden (contexto euclíadiano)

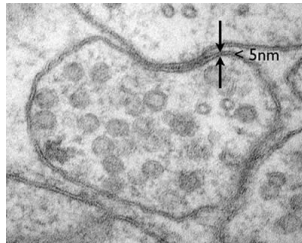
### Biofísica

#### Membranas lipídicas. Membranas ambifílicas

Helfrich, Canham, Zhong-Can, Bowick, Deserno, Capovilla, Guven, **Rojas**

#### Membranas biofísicas

- Doblamiento de membranas
- Moléculas fosfolípidas
- Membranas biofísicas
- **Vesículas a escalas mesoscópicas**



## Películas de jabón (superficies mínimas)

$$S[X^\mu] = \sigma \int d^2 u \sqrt{g} \quad \Rightarrow \quad \nabla^2 X^\mu = 0$$

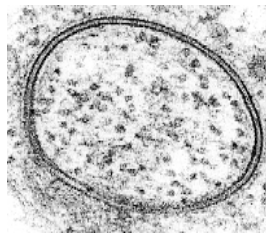
$\sigma$  tensión superficial,  $g = \det(g_{ab})$ ,  $\nabla^2 = g^{ab} \nabla_a \nabla_b$  operador laplaciano



## Películas de jabón (superficies mínimas)

$$S[X^\mu] = \sigma \int d^2 u \sqrt{g} \quad \Rightarrow \quad \nabla^2 X^\mu = 0$$

$\sigma$  tensión superficial,  $g = \det(g_{ab})$ ,  $\nabla^2 = g^{ab} \nabla_a \nabla_b$  operador laplaciano



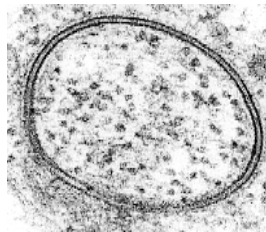
## Vesículas. Energía libre de Helfrich-Canham

$$S[X] = \frac{\kappa}{2} \int d^2 u \sqrt{g} K^2 + \beta \int d^2 u \sqrt{g} K + \sigma \int d^2 u \sqrt{g} - \frac{P}{3} \int d^2 u \sqrt{g} \vec{n} \cdot \vec{X}$$

## Películas de jabón (superficies mínimas)

$$S[X^\mu] = \sigma \int d^2u \sqrt{g} \quad \Rightarrow \quad \nabla^2 X^\mu = 0$$

$\sigma$  tensión superficial,  $g = \det(g_{ab})$ ,  $\nabla^2 = g^{ab} \nabla_a \nabla_b$  operador laplaciano



## Ecuación de forma. Configuraciones de equilibrio

$$\kappa \left[ -\nabla^2 K - \frac{K}{2} (K^2 - 2\mathcal{R}) \right] + \beta \mathcal{R} + \sigma K - P = 0, \quad K = \vec{n} \cdot \nabla^2 \vec{X}$$

## Segundo orden (contexto relativista)

### Relatividad General

Análisis variacional. Primeros instantes. Aceleración tardía.

## Segundo orden (contexto relativista)

### Relatividad General

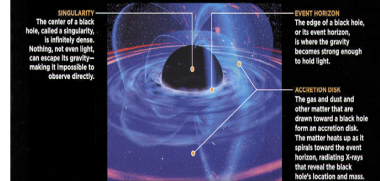
Análisis variacional. Primeros instantes. Aceleración tardía.

### Gravitación pura

- Relatividad General. Agujeros negros

### ANATOMY OF A BLACK HOLE

Though no one has ever seen a black hole, the effects of its gravitational pull are visible across the universe.



source: Smithsonian Magazine, April, 2008

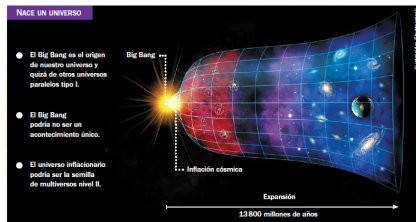
## Segundo orden (contexto relativista)

### Relatividad General

Análisis variacional. Primeros instantes. Aceleración tardía.

### Gravitación pura

- Relatividad General. Agujeros negros
- Primeros instantes del Universo



## Segundo orden (contexto relativista)

### Relatividad General

Análisis variacional. Primeros instantes. Aceleración tardía.

### Gravitación pura

- Relatividad General. Agujeros negros
- Primeros instantes del Universo
- Aceleración actual del Universo



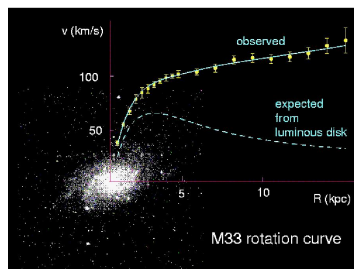
## Segundo orden (contexto relativista)

### Relatividad General

Análisis variacional. Primeros instantes. Aceleración tardía.

### Gravitación pura

- Relatividad General. Agujeros negros
- Primeros instantes del Universo
- Aceleración actual del Universo
- Materia oscura. Energía oscura



## Relatividad General pura

$$S[g_{\mu\nu}] = \frac{1}{2\kappa} \int d^4x \sqrt{-g} R + S_{\text{mat}} \implies G_{\mu\nu} = R_{\mu\nu} - \frac{1}{2}R g_{\mu\nu} = \kappa T_{\mu\nu}$$

- $R = g^{\mu\nu} R_{\mu\nu} = g^{\mu\nu} g^{\alpha\beta} R_{\mu\alpha\nu\beta}$  escalar de curvatura
- $R_{\mu\alpha\nu\beta} = \frac{1}{2} (\partial_\mu \partial_\nu g_{\alpha\beta} + \partial_\alpha \partial_\beta g_{\mu\nu} - \partial_\mu \partial_\beta g_{\alpha\nu} - \partial_\alpha \partial_\nu g_{\mu\beta})$  tensor de Riemann
- $T_{\mu\nu} = -\frac{1}{\kappa} \frac{\delta S_{\text{mat}}}{\delta g^{\mu\nu}}$  tensor de energía-momento
- 10 ecuaciones de movimiento en  $g_{\mu\nu}$ ; EDP no lineales.

## Ampliamente estudiada en:

- Cosmología: clásica y cuántica
- Modelamiento de estrellas
- Teoría de agujeros negros
- Relatividad numérica
- Soluciones exactas a las ecuaciones de Einstein

## Teorías modificadas. Teorías $f(R)$

$$S[g_{\mu\nu}] = \frac{1}{2\kappa} \int d^4x \sqrt{-g} f(R) + S_{\text{mat}}$$

$$f(R) = \dots + \frac{\alpha_2}{R^2} + \frac{\alpha_1}{R} - 2\Lambda + \frac{R}{\beta_1} + \frac{R^2}{\beta^2} + \dots$$

## Ecuaciones de movimiento

$$f'(R)R_{\mu\nu} - \frac{1}{2}f(R)g_{\mu\nu} - \nabla_\mu \nabla_\nu f'(R) - g_{\mu\nu} \square f'(R) = \kappa T_{\mu\nu}$$

Tratan de explicar fenómenos:

- Cosmología: clásica y cuántica
- Alternativas para cuantizar la gravedad,  $R^2$
- Expansión acelerada del Universo,  $R^{-1}$ ,  $\ln R$
- Teorías escalares-tensoriales, RG + BD
- Materia oscura. Energía oscura.
- Teorías altamente complejas!

## Cosmología en dimensiones extra

### Universos de tipo membrana

Universo 3-dimensional visible esta sobre una membrana 4-dimensional flotando en un espacio con más dimensiones

(V. Rubakov, A. Vilenkin, N. Arkani-Hamed, Lisa Randall, R Sundrum, G Gabadadze, G Dvali, M Porrati)

## Cosmología en dimensiones extra

### Universos de tipo membrana

Universo 3-dimensional visible esta sobre una membrana 4-dimensional flotando en un espacio con más dimensiones

(V. Rubakov, A. Vilenkin, N. Arkani-Hamed, Lisa Randall, R Sundrum, G Gabadadze, G Dvali, M Porrati)

### Cosmología de tipo membrana

- Universo  $\approx$  membrana flotando en un espacio de fondo con más dimensiones



## Cosmología en dimensiones extra

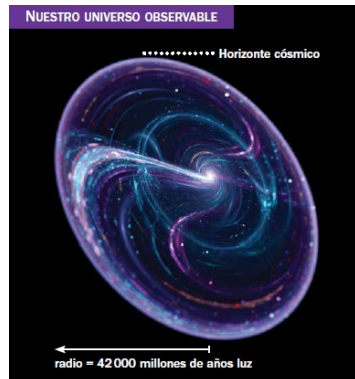
### Universos de tipo membrana

Universo 3-dimensional visible esta sobre una membrana 4-dimensional flotando en un espacio con más dimensiones

(V. Rubakov, A. Vilenkin, N. Arkani-Hamed, Lisa Randall, R Sundrum, G Gabadadze, G Dvali, M Porrati)

### Cosmología de tipo membrana

- Universo  $\approx$  membrana flotando en un espacio de fondo con más dimensiones
- Universo  $\approx$  membrana flotando en un espacio de fondo con más dimensiones



## Cosmología en dimensiones extra

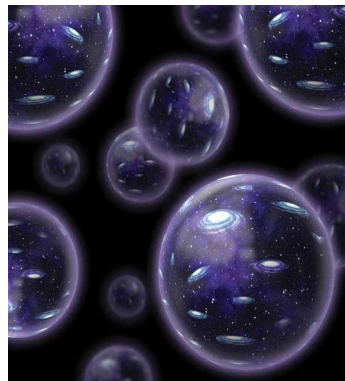
### Universos de tipo membrana

Universo 3-dimensional visible esta sobre una membrana 4-dimensional flotando en un espacio con más dimensiones

(V. Rubakov, A. Vilenkin, N. Arkani-Hamed, Lisa Randall, R Sundrum, G Gabadadze, G Dvali, M Porrati)

### Cosmología de tipo membrana

- Universo  $\approx$  membrana flotando en un espacio de fondo con más dimensiones
- Universo  $\approx$  membrana flotando en un espacio de fondo con más dimensiones
- Multiversos



## Cosmología en dimensiones extra

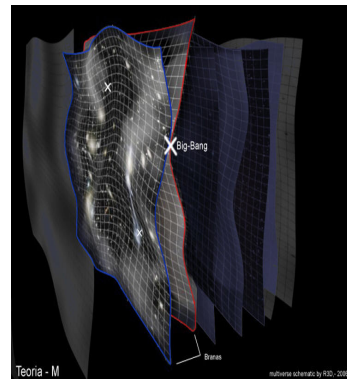
### Universos de tipo membrana

Universo 3-dimensional visible esta sobre una membrana 4-dimensional flotando en un espacio con más dimensiones

(V. Rubakov, A. Vilenkin, N. Arkani-Hamed, Lisa Randall, R Sundrum, G Gabadadze, G Dvali, M Porrati)

### Cosmología de tipo membrana

- Universo  $\approx$  membrana flotando en un espacio de fondo con más dimensiones
- Universo  $\approx$  membrana flotando en un espacio de fondo con más dimensiones
- Multiversos
- Origen del Universo. Aceleración tardía del Universo. Materia oscura. Energía oscura.



# Cosmología en dimensiones extra

## Universos de tipo membrana

Universo 3-dimensional visible esta sobre una membrana 4-dimensional flotando en un espacio con más dimensiones

(V. Rubakov, A. Vilenkin, N. Arkani-Hamed, Lisa Randall, R Sundrum, G Gabadadze, G Dvali, M Porrati)

## Cosmología de tipo membrana

- Universo  $\approx$  membrana flotando en un espacio de fondo con más dimensiones
- Universo  $\approx$  membrana flotando en un espacio de fondo con más dimensiones
- Multiversos
- Origen del Universo. Aceleración tardía del Universos. Materia oscura. Energía oscura.
- Teorías geométricas de branas. Galileones Horndeski.

$$\text{The action} \quad 3\pi \square \pi - \frac{1}{\Lambda^3} (\partial_\mu \pi \partial^\mu \pi) \square \pi - \frac{2}{M_P} \pi T$$

is obtained taking the « decoupling limit »

$$\left. \begin{array}{l} M_P \rightarrow \infty \\ M_{(5)} \rightarrow \infty \\ \Lambda \text{ fixed} \\ T/M_P \text{ fixed} \end{array} \right\}$$

It can be obtained from the (5D) « Hamiltonian » constraint

$$R = K^2 - K_{\mu\nu}^2$$

Where one substitutes the Israel junction condition

$$K = \frac{1}{6M_P^3} (T + M_P^2 R)$$

$$\text{To obtain} \quad \frac{3}{r_c} K - K^2 + K_{\mu\nu}^2 = \frac{T}{M_P^2}$$

$$\text{A last substitution} \quad K_{\mu\nu} = \frac{r_c}{M_P} \partial_\mu \partial_\nu \pi$$

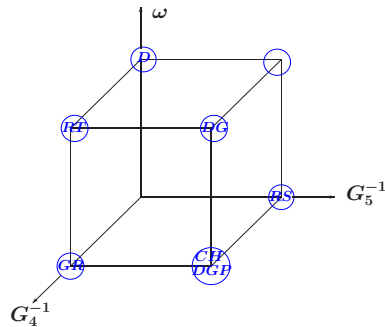
Yields the e.o.m. for  $\pi$  deduced from above action :

$$\square \pi - \frac{1}{3\Lambda^3} [(\square \pi)^2 - \pi_{;\mu\nu} \pi^{\mu\nu}] = \frac{T}{3M_P}$$

 second order e.o.m. The first « Galileon »  
 $\Rightarrow$  No « Boulware-Deser » ghost, C.D., Roumbouts, 2005)

## Teoría unificada de branas

- $GR$ : Teoría de la Relatividad General
- $D$ : Modelo extensible de Dirac para el electrón
- $RS$ : Teoría de Randall-Sundrum
- $CH - DGP$ : Teorías de Collins-Holdoms, Dvali-Gabadadze-Porrati
- $DG$ : Teoría de Davidson-Gurwich
- $RT$ : Teoría de Regge-Teitelboim



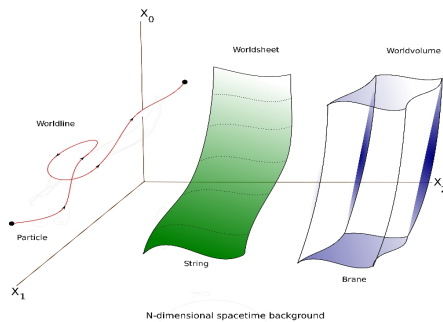
# Objetos Extendidos (OE)

Objeto Extendido  $\approx$  Membrana

Objeto de dimensiones arbitrarias inmersa en un espacio ambiente

OE (membrana, brana,  $p$ -brana, extendón)  $\approx$  superficie geométrica

Trayectoria  $\equiv$  Volumen de mundo



## Acción efectiva

La acción efectiva más general para estudiar la dinámica de un OE

$$S[X] = \int_m d^{p+1}x \sqrt{-g} L(g_{ab}, K_{ab})$$

B. Carter, A. Vilenkin, R. Capovilla, J. Guven

Formas fundamentales (métrica y curvatura extrínseca sobre  $m$ )

$$g_{ab} := e_a \cdot e_b$$

$$K_{ab} := -n \cdot \nabla_a \nabla_b X$$

- $X$       funciones de inmersión
- $m$       volumen de mundo

Importante

- Acción geométrica de segundo orden en  $X$
- Simetría: Invariancia bajo reparametrizaciones de la trayectoria

## Acción efectiva

La acción efectiva más general para estudiar la dinámica de un OE

$$S[X] = \int_m d^{p+1}x \sqrt{-g} \left\{ \mu + \alpha K^2 + \beta \left( K^2 - K_{ab}K^{ab} \right) + \dots \right\}$$

Barrabes, Boisseau, Sakellarious, B. Carter, R. Gregory, P. Letelier, A. Larsen

Formas fundamentales (métrica y curvatura extrínseca sobre  $m$ )

$$g_{ab} := e_a \cdot e_b$$

$$K_{ab} := -n \cdot \nabla_a \nabla_b X$$

- $X$       funciones de inmersión
- $m$       volumen de mundo

Importante

- Acción geométrica de segundo orden en  $X$
- Simetría: Invariancia bajo reparametrizaciones de la trayectoria

## Gravedad de tipo Lovelock para branas

### Teoría de Lovelock para branas

$$\begin{aligned} S[X] &= \int_m d^{p+1}x \sqrt{-g} \sum_{n=0}^t \alpha_n L_n(g_{ab}, K_{ab}) \\ L_n(g_{ab}, K_{ab}) &= \delta_{b_1 b_2 b_3 \dots b_n}^{a_1 a_2 a_3 \dots a_n} K^{b_1}_{\phantom{b_1} a_1} K^{b_2}_{\phantom{b_2} a_2} \cdots K^{b_n}_{\phantom{b_n} a_n} \\ &\quad a, b = 0, 1, \dots, p \end{aligned}$$

R Reilly (1973), C de Rham, Tolley, Deffayet, M Trodden, **Cruz, Rojas (2012)**

## Gravedad de tipo Lovelock para branas

### Teoría de Lovelock para branas

$$S[X] = \int_m d^{p+1}x \sqrt{-g} \sum_{n=0}^t \alpha_n L_n(g_{ab}, K_{ab})$$

$$L_n(g_{ab}, K_{ab}) = \delta_{b_1 b_2 b_3 \dots b_n}^{a_1 a_2 a_3 \dots a_n} K^{b_1}_{\phantom{b_1} a_1} K^{b_2}_{\phantom{b_2} a_2} \cdots K^{b_n}_{\phantom{b_n} a_n}$$

$a, b = 0, 1, \dots, p$

R Reilly (1973), C de Rham, Tolley, Deffayet, M Trodden, **Cruz, Rojas** (2012)

#### ● Nambu-Goto

The diagram shows three curved arrows originating from the red box containing  $\alpha_0$  in the Nambu-Goto action and pointing to the  $\alpha_0$  term in the first term of the Lovelock action.

$$\mathcal{L} = \sqrt{-g} \left\{ \alpha_0 + \alpha_1 K + \alpha_2 \mathcal{R} \right.$$

$$+ \alpha_3 (K^3 - 3KK^a_b K^b_a + 2K^a_b K^b_c K^c_a)$$

$$\left. + \alpha_4 (\mathcal{R}^2 - 4\mathcal{R}_{ab}\mathcal{R}^{ab} + \mathcal{R}_{abcd}\mathcal{R}^{abcd}) + \mathcal{O}(K^5) \right\}$$

## Gravedad de tipo Lovelock para branas

### Teoría de Lovelock para branas

$$S[X] = \int_m d^{p+1}x \sqrt{-g} \sum_{n=0}^t \alpha_n L_n(g_{ab}, K_{ab})$$

$$L_n(g_{ab}, K_{ab}) = \delta_{b_1 b_2 b_3 \dots b_n}^{a_1 a_2 a_3 \dots a_n} K^{b_1}_{\phantom{b_1} a_1} K^{b_2}_{\phantom{b_2} a_2} \dots K^{b_n}_{\phantom{b_n} a_n}$$

$a, b = 0, 1, \dots, p$

R Reilly (1973), C de Rham, Tolley, Deffayet, M Trodden, **Cruz, Rojas** (2012)

- Nambu-Goto
- **Gibbons-Hawking-York**

The diagram shows three curved arrows originating from the terms in the Lovelock action  $S[X]$  and pointing to the corresponding terms in the Gibbons-Hawking-York Lagrangian  $\mathcal{L}$ . The first arrow points from the term  $\alpha_0 L_0$  to the term  $\alpha_0 \mathcal{R}$ . The second arrow points from the term  $\alpha_1 L_1$  to the term  $\alpha_1 K$ . The third arrow points from the term  $\alpha_2 L_2$  to the term  $\alpha_2 \mathcal{R}$ .

$$\mathcal{L} = \sqrt{-g} \left\{ \alpha_0 \mathcal{R} + \alpha_1 K + \alpha_2 \mathcal{R} \right.$$

$$+ \alpha_3 (K^3 - 3KK^a_b K^b_a + 2K^a_b K^b_c K^c_a)$$

$$+ \alpha_4 (\mathcal{R}^2 - 4\mathcal{R}_{ab}\mathcal{R}^{ab} + \mathcal{R}_{abcd}\mathcal{R}^{abcd}) + \mathcal{O}(K^5) \left. \right\}$$

## Gravedad de tipo Lovelock para branas

### Teoría de Lovelock para branas

$$S[X] = \int_m d^{p+1}x \sqrt{-g} \sum_{n=0}^t \alpha_n L_n(g_{ab}, K_{ab})$$

$$L_n(g_{ab}, K_{ab}) = \delta_{b_1 b_2 b_3 \dots b_n}^{a_1 a_2 a_3 \dots a_n} K^{b_1}_{\phantom{b_1} a_1} K^{b_2}_{\phantom{b_2} a_2} \dots K^{b_n}_{\phantom{b_n} a_n}$$

$a, b = 0, 1, \dots, p$

R Reilly (1973), C de Rham, Tolley, Deffayet, M Trodden, **Cruz, Rojas** (2012)

- Nambu-Goto
- Gibbons-Hawking-York
- Regge-Teitelboim

$$\begin{aligned} \mathcal{L} = & \sqrt{-g} \left\{ \alpha_0 + \alpha_1 K + \alpha_2 \mathcal{R} \right. \\ & + \alpha_3 (K^3 - 3KK^a_b K^b_a + 2K^a_b K^b_c K^c_a) \\ & \left. + \alpha_4 (\mathcal{R}^2 - 4\mathcal{R}_{ab}\mathcal{R}^{ab} + \mathcal{R}_{abcd}\mathcal{R}^{abcd}) + \mathcal{O}(K^5) \right\} \end{aligned}$$

## Gravedad de tipo Lovelock para branas

### Teoría de Lovelock para branas

$$S[X] = \int_m d^{p+1}x \sqrt{-g} \sum_{n=0}^t \alpha_n L_n(g_{ab}, K_{ab})$$

$$L_n(g_{ab}, K_{ab}) = \delta_{b_1 b_2 b_3 \dots b_n}^{a_1 a_2 a_3 \dots a_n} K^{b_1}_{\phantom{b_1} a_1} K^{b_2}_{\phantom{b_2} a_2} \dots K^{b_n}_{\phantom{b_n} a_n}$$

$a, b = 0, 1, \dots, p$

R Reilly (1973), C de Rham, Tolley, Deffayet, M Trodden, **Cruz, Rojas** (2012)

- Nambu-Goto
- Gibbons-Hawking-York
- Regge-Teitelboim

$$\begin{aligned} \mathcal{L} = & \sqrt{-g} \left\{ \alpha_0 + \alpha_1 K + \alpha_2 \mathcal{R} \right. \\ & + \alpha_3 (K^3 - 3KK^a_b K^b_a + 2K^a_b K^b_c K^c_a) \\ & \left. + \alpha_4 (\mathcal{R}^2 - 4\mathcal{R}_{ab}\mathcal{R}^{ab} + \mathcal{R}_{abcd}\mathcal{R}^{abcd}) + \mathcal{O}(K^5) \right\} \end{aligned}$$

- GHY-Myers

## Gravedad de tipo Lovelock para branas

### Teoría de Lovelock para branas

$$S[X] = \int_m d^{p+1}x \sqrt{-g} \sum_{n=0}^t \alpha_n L_n(g_{ab}, K_{ab})$$

$$L_n(g_{ab}, K_{ab}) = \delta_{b_1 b_2 b_3 \dots b_n}^{a_1 a_2 a_3 \dots a_n} K^{b_1}_{\phantom{b_1} a_1} K^{b_2}_{\phantom{b_2} a_2} \dots K^{b_n}_{\phantom{b_n} a_n}$$

$a, b = 0, 1, \dots, p$

R Reilly (1973), C de Rham, Tolley, Deffayet, M Trodden, **Cruz, Rojas** (2012)

- Nambu-Goto
- Gibbons-Hawking-York
- Regge-Teitelboim

$$\begin{aligned} \mathcal{L} &= \sqrt{-g} \left\{ \alpha_0 + \alpha_1 K + \alpha_2 \mathcal{R} \right. \\ &+ \alpha_3 (K^3 - 3KK^a_b K^b_a + 2K^a_b K^b_c K^c_a) \\ &\left. + \alpha_4 (\mathcal{R}^2 - 4\mathcal{R}_{ab}\mathcal{R}^{ab} + \mathcal{R}_{abcd}\mathcal{R}^{abcd}) + \mathcal{O}(K^5) \right\} \end{aligned}$$

- GHY-Myers

- Gauss-Bonnet

EdM, segundo orden en  $X$ 

$$J_{(n)}^{ab} K_{ab} = L_{n+1} = 0$$

- $J_0^{ab} = g^{ab}$
- $J_1^{ab} = g^{ab}K - K^{ab} = g^{ab}L_1 - K^{ab}$
- $J_2^{ab} = G^{ab} = \mathcal{R}^{ab} - \frac{1}{2}g^{ab}\mathcal{R}$
- $J_3^{ab} = g^{ab}L_3 - 3\mathcal{R}K^{ab} + 6KK^a{}_cK^{cb} - 6K^a{}_cK^c{}_dK^{db}$

$J_n^{ab}$  tensor tipo Lovelock para OE; conservado,  $\nabla_a J_n^{ab} = 0$ .

## Utilidad

- Cosmología en dimensiones extra
- Pariente de RG
- Galileones
- Modelos extensibles para el electrón (Dirac)
- Desarrollos en Geometría Diferencial. Teoría  $M$ .
- Conexión con membranas lipídicas. Correcciones a la energía libre de Helfrich

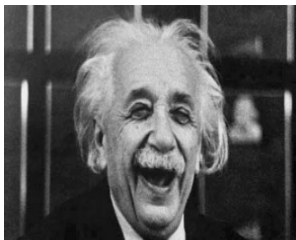
## Gravitación tipo brana geodésica

Regge-Teitelboim (1975), inspirados por el modelo de Dirac-Nambu-Goto para cuerdas relativistas imaginaron a nuestro espacio-tiempo 4-dimensional como el volumen de mundo de una brana 3-dimensional flotando en un espacio-tiempo de tipo Minkowski (**Gravedad de tipo brana geodésica**)

## Gravitación tipo brana geodésica

Regge-Teitelboim (1975), inspirados por el modelo de Dirac-Nambu-Goto para cuerdas relativistas imaginaron a nuestro espacio-tiempo 4-dimensional como el volumen de mundo de una brana 3-dimensional flotando en un espacio-tiempo de tipo Minkowski (**Gravedad de tipo brana geodésica**)

La teoría intentó establecerse como una alternativa matemática viable hacia la unificación de la mecánica cuántica con la teoría de Einstein pero ...



Davidson & Karasik (2003); Cordero, Molgado & Rojas **hamiltoniano cuadrático!**

## Modelo de RT

### El modelo de Regge-Teitelboim

$$S[X] = \int_m d^4x \sqrt{-g} (\alpha' \mathcal{R} + \Lambda)$$

### Las ecuaciones de movimiento

$$T^{ab} K_{ab} = 0$$

- $T^{ab} = \alpha G^{ab} + \Lambda g^{ab}$  tensor de stress intrínseco
- $G_{ab} = \mathcal{R}_{ab} - \frac{1}{2}\mathcal{R}g_{ab}$  tensor de Einstein

## Modelo de RT

### El modelo de Regge-Teitelboim

$$S[X] = \int_m d^4x \sqrt{-g} (\alpha' \mathcal{R} + \Lambda) + S_{\text{mat}}$$

Las ecuaciones de movimiento (**materia**)

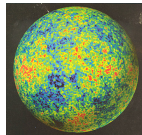
$$T^{ab} K_{ab} = F$$

- $T^{ab} = \alpha G^{ab} + \Lambda g^{ab}$  tensor de stress intrínseco
- $G_{ab} = \mathcal{R}_{ab} - \frac{1}{2}\mathcal{R}g_{ab}$  tensor de Einstein

## Geometría FRW

3-brana  $\Sigma$  flotando en Minkowski, métrica inducida,  $ds^2 = N^2 d\tau^2 + a^2 d\Omega_3^2$  con  
 $N = \sqrt{\dot{t}^2 - \dot{a}^2}$

Cordero, Molgado & Rojas



Geometría del volumen de mundo  $\equiv$  FRW con un Lagrangiano

$$\begin{aligned} L(a, \dot{a}, \ddot{a}, \dot{t}, \ddot{t}) &= \frac{a\dot{t}}{N^3} (\ddot{a}\dot{t} - \dot{a}\ddot{t} + N^2\dot{t}) - Na^3H^2 \\ &= -\frac{a\dot{a}^2}{N} + aN(1 - a^2H^2) + \frac{d}{d\tau} \left( \frac{a^2\dot{a}}{N} \right) \end{aligned}$$

Ecuación de movimiento

$$\frac{d}{d\tau} \left( \frac{\dot{a}}{t} \right) = -\frac{N^2}{a^2 t} \frac{\dot{t}^2 - 3N^2 a^2 H^2}{3\dot{t}^2 - N^2 a^2 H^2}$$

con  $H^2 = \Lambda/3\alpha$

## Aproximación hamiltoniana (Ostrogradski)

$$\begin{aligned} P_t &= -\frac{a^2 \dot{a} \dot{t}}{N^3} & P_a &= \frac{a^2 \dot{t}^2}{N^3} \\ p_t &= \frac{a \dot{t}}{N^3} [\dot{a}^2 + N^2 (1 - a^2 H^2)] =: \Omega & p_a &= \left( \frac{\dot{a}}{\dot{t}} \right) \Omega \end{aligned}$$

Ecuación de Friedman

$$N^2 + \dot{a}^2 = \gamma N^2 a^2 H^2$$

$\gamma$  satisface la ecuación cúbica  $\gamma(\gamma - 1)^2 = \Omega^2/a^8 H^6$

Constricciones de primera y segunda clase

$$\mathcal{F}_1 = N\Pi_N = 0$$

$$\begin{aligned} \mathcal{F}_2 &= N \left\{ \mathbf{p}_a^2 - a \left[ - \left( \frac{\Omega}{(\gamma - 1)a^3 H^2} \right) p_t + \frac{\mathfrak{p}_a \dot{a}}{N} + a^3 H^2 \right. \right. \\ &\quad \left. \left. + \frac{1}{a^3} N^2 \Pi_N^2 - \frac{1}{a^3} \Pi_v^2 \right] [(\gamma - 1)a^2 H^2 + 2] \right\} = 0 \end{aligned}$$

$$\mathcal{S}_1 = \Pi_v - \frac{a^2 \dot{t}}{N} = 0$$

$$\mathcal{S}_2 = \mathfrak{p}_a \dot{t} - \frac{2a \dot{a}}{N} \dot{t} = 0$$

Ansatz  $\Psi(\tau, a) = \varphi(a)e^{-i\Omega\tau}$

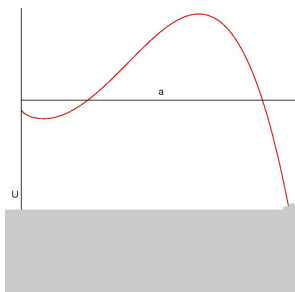
$$\hat{\mathcal{F}}_1 \Psi = 0 \quad \text{and} \quad \hat{\mathcal{F}}_2 \Psi = 0$$

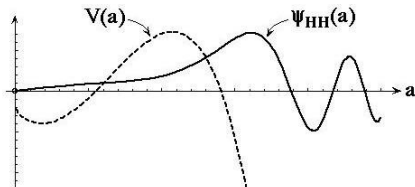
Ecuación tipo WDW

$$\left[ -\frac{d^2}{da^2} + U(a) \right] \varphi(a) = 0$$

donde

$$U(a) = a^2 \{ [\gamma(a) - 1] a^2 H^2 + 2 \}^2 [1 - \gamma(a) H^2 a^2]$$





- $U(a)$  admite una barrera de potencial si  $\Omega H \leq 2/(3\sqrt{3})$ .
- Características de la barrera  $a_1 < a < a_2$ . Para  $\Omega H \ll 1$  los puntos de retorno

$$a_1 \simeq \Omega \quad a_2 \simeq H^{-1} \left( 1 - \frac{1}{2}\Omega H \right)$$

- Distancias grandes,  

$$U(a \gg \Omega) \simeq 4a^2(1 - H\Omega - H^2a^2)$$
- Distancias cortas  

$$U(a \ll \Omega) \simeq -\Omega^2 - 3\Omega^4a^{2/3} + 4a^2$$
- Condiciones de frontera (A. Davidson). Función de onda, WKB

$$\varphi_{HH} (a_L < a < a_R) \simeq \mp \frac{1}{\sqrt{U}} \exp \left[ \pm \int_{a_L}^a \sqrt{U} da' \right]$$

## Modelo de RT modificado

### El modelo de Regge-Teitelboim modificado

$$S[X] = \int_m d^4\xi \sqrt{-g} (\alpha' \mathcal{R} + \beta K - \Lambda)$$

Cordero, Cruz, Molgado, Rojas

### Las ecuaciones de movimiento

$$T^{ab} K_{ab} = 0$$

- $T^{ab} = \alpha G^{ab} + \beta S^{ab} + \Lambda g^{ab}$  tensor de stress intrínseco
- $G_{ab} = \mathcal{R}_{ab} - \frac{1}{2}\mathcal{R}g_{ab}$  tensor de Einstein
- $S_{ab} = K_{ab} - K g_{ab}$  tensor conservado

## Geometría FRW. Análisis clásico

3-brana  $\Sigma$  flotando en Minkowski, métrica inducida,  $ds^2 = N^2 d\tau^2 + a^2 d\Omega_3^2$ .

Ecuación tipo Friedmann

$$-\frac{E}{a^4} = \frac{(\dot{a}^2 + k)^{1/2}}{a} \left[ \frac{(\dot{a}^2 + k)}{a^2} - (\bar{\Lambda} + \bar{\rho}) \right] + 3\bar{\beta} \frac{(\dot{a}^2 + k)}{a^2}$$

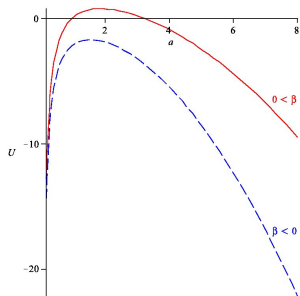
Análisis clásico

$$\dot{a}^2 + U(a, E) = 0$$

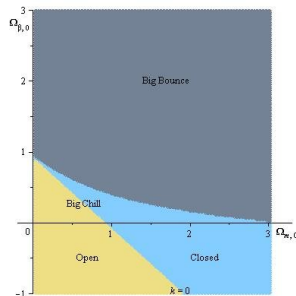
donde

$$\boxed{\frac{U(a, E)}{H_0^2} = -\Omega_{k,0} - \frac{a^2}{9} \left\{ 2 \left[ \Omega_{\beta,0}^2 + 3 \left( \Omega_{\Lambda,0} + \frac{\Omega_{m,0}}{a^3} \right) \right]^{1/2} \times \right.} \\ \left. F \left[ \frac{1}{3} F^{-1} \left( \frac{\Omega_{\beta,0} \left[ \Omega_{\beta,0}^2 + \frac{9}{2} \left( \Omega_{\Lambda,0} + \frac{\Omega_{m,0}}{a^3} \right) \right] - \frac{27\Omega_{dr}}{2a^4}}{\left[ \Omega_{\beta,0}^2 + 3 \left( \Omega_{\Lambda,0} + \frac{\Omega_{m,0}}{a^3} \right) \right]^{3/2}} \right) \right] - \Omega_{\beta,0} \right\}^2}$$

con  $F(x) = \cosh x, \cos x$ . Parámetros densidad de energía,  $\Omega_k, \Omega_\Lambda, \Omega_m, \Omega_\beta, \Omega_{dr}$



Potencial clásico, ( $\beta > 0$ ,  $\beta < 0$ )



Posibles trayectorias

En términos del parámetro de Hubble

$$\left(\frac{H^2}{H_0^2} - \frac{\Omega_k}{a^2}\right)^{1/2} \left(\frac{H^2}{H_0^2} - \frac{\Omega_k}{a^2} - \frac{\Omega_m}{a^3} - \Omega_\Lambda\right) + \Omega_\beta \left(\frac{H^2}{H_0^2} - \frac{\Omega_k}{a^2}\right) = \frac{\Omega_{dr}}{a^4}$$

Condición de normalización

$$(1 - \Omega_{k,0})^{1/2} (1 - \Omega_{k,0} - \Omega_{m,0} - \Omega_{\Lambda,0}) + \Omega_{\beta,0} (1 - \Omega_{k,0}) = \Omega_{dr}$$

## Conexión con DGP

El caso  $\Omega_{dr} = 0$

$$H^2 + \frac{k}{a^2} + 3\bar{\beta}\sqrt{H^2 + \frac{k}{a^2}} = \bar{\Lambda} + \bar{\rho}$$

Ecuación similar a la expresión que describe las ramas no auto-aceleradas y auto-aceleradas de la teoría de Dvali-Gabadadze-Porrati.

Se tiene una constante cosmológica efectiva

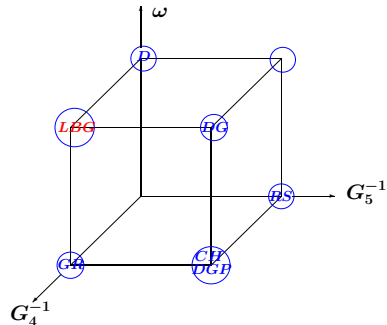
$$\Lambda_{\text{eff}} = \Lambda - 3\beta\sqrt{H^2 + \frac{k}{a^2}}$$

El parámetro  $\beta$

$\beta$  juega el papel de  $r_c^{-1}$

## Teoría unificada de branas (propuesta)

- *GR*: Relatividad General
- *D*: Modelo extensible de Dirac para el electrón
- *RS*: Teoría de Randall-Sundrum
- *CH – DGP*: Teoría de Collins-Holdoms, Dvali-Gabadadze-Porrati
- *DG*: Teoría de Davidson-Gurwich
- *LBG*: Teoría de branas de tipo Lovelock



## Conclusiones

- Teorías de segundo orden son de utilidad en muchos contextos
- El concepto de brana es útil para modelar sistemas físicos interesantes a nivel euclidiano y relativista
- Amplio rango de aplicaciones. Teoría de cuerdas, Membranas lípídicas, Econofísica, Electrodinámica, RG
- Teorías de tipo Lovelock producen escenarios cosmológicos con aceleración tardía

## Trabajo en progreso. Intereses

- Cuantización de lagrangianos dependiendo linealmente de la aceleración
- La aproximación Ostrogradski-Hamilton resulta ser de utilidad para cuantizar canónicamente a este tipo de teorías
- Principales aplicaciones en cosmología de universos en dimensiones extra
- Teorías de tipo Lovelock para branas. Universos que exhiben un comportamiento acelerado tardío
- Aproximación de tipo Born-Infeld a la teoría de Lovelock para universos de tipo membrana
- Incorporación de fondos curvos con interés físico
- Análisis de estabilidad de estos modelos geométricos
- Galileones. Teorías de campos escalares de segundo orden. Modos normales de movimiento.